

# Časopis pro pěstování matematiky a fysiky

---

Rudolf Dohnálek; Stanislav Veselý  
Elektronová mikroskopie otisků

*Časopis pro pěstování matematiky a fysiky*, Vol. 75 (1950), No. 1, D59--D79

Persistent URL: <http://dml.cz/dmlcz/122342>

## Terms of use:

© Union of Czech Mathematicians and Physicists, 1950

Institute of Mathematics of the Academy of Sciences of the Czech Republic provides access to digitized documents strictly for personal use. Each copy of any part of this document must contain these *Terms of use*.



This paper has been digitized, optimized for electronic delivery and stamped with digital signature within the project *DML-CZ: The Czech Digital Mathematics Library* <http://project.dml.cz>

## FYSIKA V TECHNICE

### ELEKTRONOVÁ. MIKROSKOPIE OTISKŮ.

Ing. Dr RUDOLF DOHNÁLEK a STANISLAV VESELÝ, Praha.

Dnešní konstrukce elektronových mikroskopů jsou zařízeny na pozorování předmětů, které jsou buď dostatečně tenké a tím prostupné pro elektrony, anebo které jsou dostatečně jemně rozptýleny. Takovými vhodnými předměty jsou na př. bakterie, virusy, vlákna, saze, koloidální částice a podobně. Elektronické zobrazování těchto objektů lze si v prvním přiblížení představit analogicky jako zobrazování optické. Elektronové paprsky při průchodu předmětem jsou v jeho různých místech různě rozptylovány podle koncentrace hmoty v uvažovaném bodě, rozptýlené elektrony jsou zachyceny clonami a prošlé elektronové paprsky jsou usměrněny elektrostatickými nebo elektromagnetickými čočkami tak, že vytvoří obraz předmětu, kterým prošly. Obdobně jako při optickém zobrazování jsou tyto obrazy zvětšené a zachycují se pro vizuální pozorování na fluorescenčním stínítku nebo fotograficky na citlivé desce.

Když se však snažíme získat elektronové obrazy předmětů „elektronicky neprůhledných“, jimiž jsou při dnešních konstrukcích elektronových mikroskopů prakticky všechny předměty tlustší než 500 Å, to jest 0,00005 mm, nemůžeme použítí této běžné mikroskopické techniky. Tento problém se vyskytl v metalografii i u světelného mikroskopu, neboť obvyklé metalografické vzorky jsou příliš silné i pro světelné paprsky. Metalografický světelný mikroskop překonává tuto obtíž osvětlením vzorku se strany nebo přes objektiv a k zobrazování používá světla odraženého od povrchu. Tento postup je v principu možný i u elektronového mikroskopu, avšak praktické potíže při zobrazování odraženými elektrony jsou příliš velké, což zabraňuje obecnějšímu použití této techniky.

Poněkud úspěšnější metodou jest ohledávání malé plošky velmi jemným svazkem elektronových paprsků a registrování odražených paprsků pomocí fluorescenčního stínítka, jehož obraz se zachycuje na fotokathodě násobiče elektronů. Ohledávání povrchu a zapisování obrazu se děje synchronizačním zařízením obdobným jako při televizi. Metoda zřejmě vyžaduje složitých zařízení a poněvadž dosažená rozlišovací

schopnost jest aspoň prozatím horší než u běžných elektronových mikroskopů, má toto t. zv. rastrové zobrazování dosud cenu jen theoretickou.

Pro tyto potíže, které se vyskytují při přímém zobrazování povrchů, byla vypracována řada metod nepřímých, kterými se dají prakticky vyšetřovat všechny druhy povrchů, ať už jsou to tvrdé povrchy kovů nebo jemné povrchy organické. Při těchto metodách nezobrazujeme přímo povrch objektu, nýbrž vytvoříme nejdříve jeho otisk na tenké průhledné folii (filmu) a tuto pozorujeme v normálním elektronovém mikroskopu na průhled. Během posledních let bylo vyzkoušeno mnoho variací metody otisků. Některé z nich byly vyzkoušeny u nás na elektronovém mikroskopu Československých chemických závodů, umístěném ve fyzikálním ústavu Karlovy university.

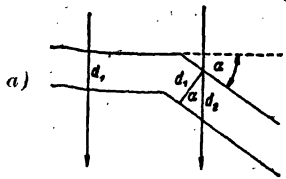
Podle pracovního postupu rozeznáváme jednak jednoduché otisky (přímé) a jednak otisky dvojité (nepřímé resp. pozitivní). Při přímých otiscích se musí vytvořit vhodný film přímo na zkoumaném povrchu a také se musí s ním sejmut. Mechanické sloupnutí takového filmu je procedura v každém případě poněkud obtížná a při zkoumání povrchů naleptaných nebo drsných obyčejně nemožná. Proto používáme často metody nepřímých otisků, při čemž se vytvoří z připraveného povrchu nejdříve negativní otisk do kovu nebo do plastické hmoty. Pro negativní otisk se volí materiál a tloušťka tak, aby otisk mohl být z originálu snadno sejmut. Z prvního otisku se vytvoří druhý — pozitiv — ve formě tenké folie, která se uvolní od negativu nějakou chemickou methodou, obyčejně rozpouštěním negativu ve vhodném rozpouštědle.

Je pochopitelné, že elektronový obraz otisku bude mít charakter použité metody, takže při jeho interpretaci musíme uvážit, jak vznikl, jmenovitě jakým způsobem se na něm vytvářejí kontrasty. Nejjednodušeji se dá vyložit vznik kontrastů na folii stejné tloušťky (obr. 1a). Uvažovaná folie nechť sleduje povrch předmětu všude se stejnou tloušťkou. Prakticky vzniká taková folie oxidací čistého kovu, na př. hliníku (oxydová folie). Pokud paprsek prochází ploškou kolmo, je jeho dráha nejkratší ( $d_1$ ) a rovná se tloušťce folie. Prochází-li paprsek jinou ploškou, která svírá s původní úhel  $\alpha$ , pak jeho dráha ve folii jest delší ( $d_2$ ) a dá se vyjádřit vztahem

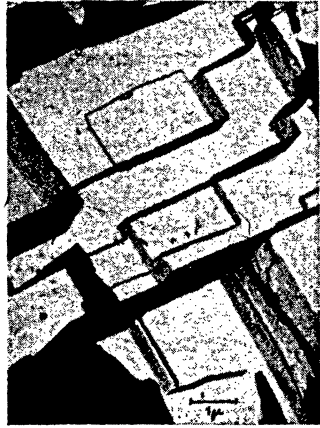
$$d_2 = d_1 : \cos \alpha.$$

Na stínítku bude se jevit tato ploška tmavší než ta, kterou prochází paprsek kolmo. Nerozeznáme ovšem, jestli plocha vystupuje nebo sestupuje resp. nerozlišíme vrch a důl.

Kysličníkové folii se nejvíce podobá rozlišením i kontrastem folie vzniklá pokovením původního povrchu ve vakuu. Při kolmém pokovení preparátu nevzniká sice folie stejné tloušťky, neboť na šikmých plochách jest odpařená vrstva tenčí (úměrně s  $\cos \alpha$ ), takže theoreticky při kolmém pokovení a při kolmém pozorování preparátu by neměly vzniknout žádné kontrasty, neboť průchodová dráha a tloušťka odpařené vrstvy



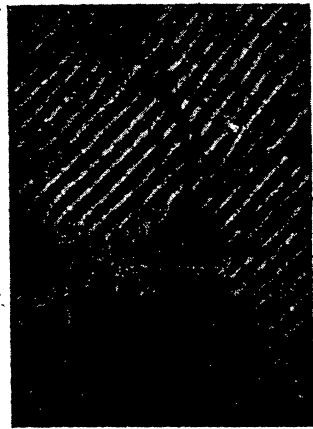
Obr. 1. Vznik otisků.



Obr. 2. Hliník, kyslíčkový otisk (asi 6000×).



Obr. 3. Perlitická ocel, plastický otisk (asi 3500×).



Obr. 4. Perlitická ocel, stínovaný plastický otisk (asi 6000×).

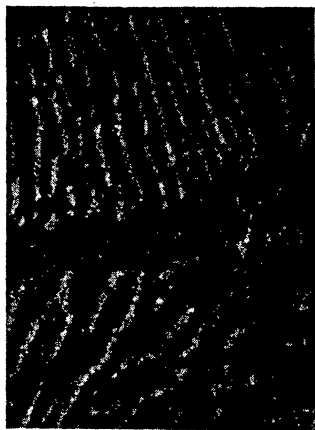
jsou v tomto případě stejné. Prakticky však určitý kontrast vznikne vždy, neboť odpařování se neděje přesně paralelně a pozorovací směr se neztotožní se směrem pokovení. Prakticky zvětšujeme tento rozdíl tím, že preparát pokovíme šikmo v úhlu asi  $45^\circ$  (obr. 1b). Kontrast je pak tím větší, čím je větší rozdíl mezi směrem pokovení a směrem pozorování. Tímto způsobem se také hotoví folie křemenné, které mají některé výhodné vlastnosti, na př. větší mechanickou pevnost.

Velmi důležitá skupina plastických otisků vzniká tak, že objekt potřeme roztokem laku nebo umělé pryskyřice, která vytvoří po odpaření rozpustidla tenký film na objektu, který není všude stejně silný. V ideálním případě by měl na vnitřní straně sledovat strukturní útvar, kdežto na horní straně by měl být rovný. Ve skutečnosti tato podmínka není splněna a folie vlivem povrchového napětí zdůrazňuje více výčnělků a vyčnívající hrany, kdežto prohlubeniny se ztrácejí ve stínech (obr. 1c) a rovněž tak strana odvrácená od objektu není rovná.

Svoji podstatou je plastická folie proto vždy méně kontrastnější, už také z toho důvodu, že je z organického materiálu obsahujícího hlavně uhlík a lehké prvky, které jsou pro elektrony propustnější než kovy. Její nedostatky se dají redukovat vhodnou volbou plastického materiálu, tloušťkou přiměřenou struktuře povrchu a konečně t. zv. stínováním (shadow casting), což je pokovení folie pod velmi malým úhlem, při čemž vyniknou detaily i na objektech velmi plochých (obr. 1d).

Příklady metody otisků jsou na obrázcích 2 až 5. Na obr. 2 je kyslíčkový otisk hliníkového plechu leptaného kyselinou solnou. Reprodukovaný snímek zobrazuje typickou kubickou strukturu hliníku.

Leptání sleduje krystalografické krychlové plochy, které, jsouce šikmé ke směru pozorování, působí neobyčejně prostorově, k čemuž přispívá ostrost do značné hloubky při elektronickém zobrazování. Na obr. 3 je plastický otisk perlitické ocele. Vyleštěný vzorek byl naleptán alkoholickým roztokem kyseliny solné a chloridu železitého. Jako plastické hmoty pro otisk bylo použito roztoku polyvinylformalu (amer. značka Formvar E). Ze základní hmoty vystupuje lamelární struktura karbidu železa, který odolává účinkům leptání. Na obr. 4 je plastický otisk perlitické ocele, stínovaný chromem. Původní plastický otisk byl ve vakuu šikmo stínován chromem, aby lépe vynikla drobnější struktura. Na obr. 5 je kovový otisk perlitické ocele. Z téhož vzorku ocele byl pořízen dvojitý otisk. Negativ byl za horka vytlačen do polystyrolu, který



Obr. 5. Perlitická ocel, kovový otisk (asi  $6000\times$ ).

byl ve vakuu šikmo pokryt chromem. Po rozpuštění polystyrolu zůstal kovový pozitivní otisk. Vyznačuje se značným kontrastem charakteristickým pro kovy a jemnější kresbou v detailech.

Za pořízení původních metalografických vzorků děkujeme Výzkumnému ústavu ČKD, především pí dr WAGESTIANOVÉ a p. KUČEROVI.

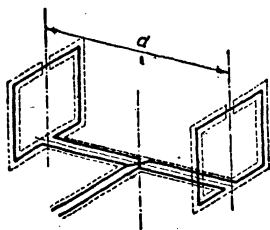
\*

**La microscopie électronique des empreintes.** Les microscopes électroniques d'aujourd'hui sont construits pour examiner des objets minces, transparents pour les électrons. Pour observer les surfaces solides on a élaboré une série des méthodes indirectes, celles des empreintes. D'après cette technique on applique sur la surface examinée une feuille mince, formée des matériaux divers (plastiques, métalliques, d'oxide, etc.) et après l'avoir détachée de la surface, on l'observe „à transparence“. La formation du contrast de l'image électronique est donnée soit par l'inclination de la feuille, soit par la concentration de la matière dans les points considérés. Quelques de ces techniques d'observation étaient examinées chez nous avec le microscope électronique des Usines Chimiques Tchécoslovaque qui est installé a l'Institut de Physique de l'Université Charles à Prague. Quelques résultats obtenus par les méthodes citées sont démontrés par quatre illustrations des surfaces métalliques.

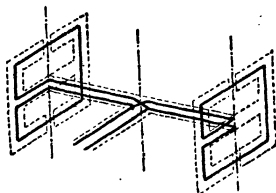
## THEORIE DVOJITÉHO RÁMOVÉHO ZAMĚŘOVAČE.

Ing. Dr MIROSLAV JOACHIM, Praha.

**Úvod.** Jedním z méně používaných způsobů kompenzace polarisačních chyb při radiovém zaměřování je použití dvojitého rámového zaměřovače (spaced-loop direction finder, parallel-loop direction finder). Jeho původci jsou R. A. WEAGANT (USA) a C. S. FRANKLIN (Anglie), další vývoj je dílem T. L. ECKERSLEYE (Anglie). V tomto zaměřovači používáme dvou shodných ráků ve svislých rovinách, jejichž středy jsou ve vzájemné vzdálenosti  $d$  (obr. 1). Celá soustava je otáčivá kolem osy půlící vzdá-



Obr. 1.



Obr. 2.

lenost mezi středy obou ráků. Roviny obou ráků buď splyvají (koplánární ráky), nebo jsou spolu rovnoběžné a kolmé na spojnici středů (koxiální ráky; viz obr. 1). Ráky jsou zapojeny tak, že se jejich napětí odčítají, takže na svorkách zaměřovače se vytvoří jen napětí vznikající tím,

že napětí v obou rámech nejsou přesně opačná. Z mechanických důvodů (menší namáhání spojovacího ramene na kroucení při otáčení rámem) používáme někdy dvojitéh rámů podle obr. 2. V této práci pojedná-  
váme také o případě, kdy povrchová vlna má složku ve směru zemského  
povrchu. Kromě toho při řešení vlivu prostorového vlnění bereme ohled  
také na elmg. vlnění odražené od zemského povrchu. Aby se odvození  
směrového diagramu pro oba případy dvojitého rámového zaměřovače  
zjednodušilo a aby lépe vynikly výhody a nevýhody tohoto uspořádání,  
odvodíme nejprve směrový diagram jednoduchého rámu.

**1. Zaměřování povrchové vlny.** Je-li zemský povrch dokonale  
vodivý, nemůže v něm existovat složka intenzity el. pole elmg. vlnění  
a vektor intenzity el. pole je v tomto případě kolmý k zemskému povrchu.  
Není-li zemský povrch dokonale vodivý, můžeme jeho elektrické vlast-  
nosti vyjádřit dielektrickou konstantou  $\epsilon$  a vodivostí  $\sigma$ , vyjadřovanou  
nejčastěji v elmg. abs. jednotkách. Vektor intenzity el. pole  $\mathcal{E}_p$  má v tom-  
to případě obě složky, vertikální  $\mathcal{E}_{pv}$  a horizontální  $\mathcal{E}_{ph}$  ve směru šíření  
vln. Obě složky nejsou obecně ve fázi.

Vyjádríme-li svislou složku intenzity el. pole ve středu rámu rovnici

$$\mathcal{E}_{pv} = \mathcal{E}_{pv\max} e^{j\omega t}, \quad (1)$$

pak pro vodorovnou složku dostaneme podle ZENNECKA [23]

$$\mathcal{E}_{ph} = \mathcal{E}_{pv} \sqrt{\frac{10^{-20} f : 18\sigma}{1 + (f\epsilon \cdot 10^{-20} : 18\sigma)^2}} e^{j\varphi}, \quad (2)$$

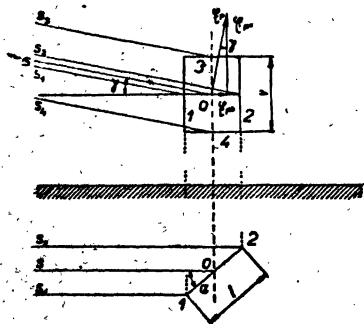
kde  $f$  značí kmitočet v Mc/s. Přitom úhel  $\varphi$  je dán vztahem

$$\varphi = \frac{1}{2} \operatorname{arctg} \frac{18\sigma}{f\epsilon} 10^{20}. \quad (3)$$

To znamená, že vektor intenzity el. pole opisuje elipsu ve svislé rovině  
určené směrem šíření elmg. vlny. Ve svislých i ve vodorovných vodičích  
rámu se indukují určité elmot. síly a celko-  
vá síla na svorkách rámu je dána výrazem:

$$U_p = \oint \mathcal{E}_p ds. \quad (4)$$

Pro jednoduchost vypočteme elmot.  
sílu pro obdélníkový rám o výšce  $v$  a  
šířce  $l$  (obr. 3). Je-li průběh  $\mathcal{E}_{pv}$  ve středu  
rámu dán rovnicí (1), předbíhá intenzita  
el. pole v místě svislé řady vodičů 1, bližší  
ke zdroji elmg. vln, o úhel  $\psi$ , daný úměrou  
 $2\pi : \psi = \lambda : \frac{1}{2} l \cos\alpha \cos\gamma$ , kde  $\gamma$  je sklon  
elmg. vln vůči povrchu a  $\lambda$  vlnová délka  
vlnění ve vakuu. Z úměry dostaneme



Obr. 3.

$$\psi = \frac{\pi l}{\lambda} \cos \alpha \cos \gamma \quad (5)$$

a složka cirkulace ve vodičích 1 je dána výrazem

$$U_{pv_1} = \mathcal{E}_{pv\max} v n e^{j(\omega t - \psi)}, \quad (6)$$

kde  $n$  značí počet závitů. Ve vodičích 2 je intenzita el. pole zpožděna o týž úhel  $\psi$ , takže

$$U_{pv_2} = \mathcal{E}_{pv\max} v n e^{j(\omega t + \psi)}. \quad (7)$$

Postupujeme-li podél vodičů v téže směru, mají složky  $U_{pv_1}$  a  $U_{pv_2}$  opačný smysl, a neuvvažujeme-li nejprve vodorovnou složku intenzity el. pole  $\mathcal{E}_{ph}$ , je výsledná elmot. síla

$$U_{pv} = U_{pv_2} - U_{pv_1} = \mathcal{E}_{pv\max} v n (e^{j\psi} - e^{-j\psi}) e^{j\omega t},$$

čili

$$U_{pv} = j \mathcal{E}_{pv\max} 2v n \sin\left(\frac{\pi l}{\lambda} \cos \alpha \cos \gamma\right) e^{j\omega t}. \quad (8)$$

Jsou-li rozměry rámu malé ve srovnání s vlnovou délkou, t. j.  $l \ll \lambda$ , platí

$$\sin\left(\frac{\pi l}{\lambda} \cos \alpha \cos \gamma\right) \approx \frac{\pi l}{\lambda} \cos \alpha \cos \gamma$$

a elmot. síla na svorkách rámu je

$$U_{pv} = j \mathcal{E}_{pv\max} \frac{2\pi l v n}{\lambda} \cos \alpha \cos \gamma e^{j\omega t}. \quad (9)$$

Výraz

$$\frac{2\pi l v n}{\lambda} = h_{u1} \quad (*)$$

nazýváme často *účinnou výškou* jednoduché rámové anteny. Je to poměr absolutních hodnot maximální elmot. síly indukované v rámu k maximální intenzitě el. pole ve středu rámu (t. j. pro  $\alpha = 0$  a  $\gamma = 0$ ). Je tedy

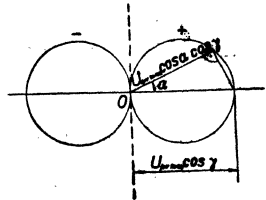
$$U_{pv} = j \mathcal{E}_{pv\max} h_{u1} \cos \alpha \cos \gamma e^{j\omega t}, \quad (10)$$

elmot. síla  $U_{pv}$  předbíhá (časově) intenzitu el. pole  $\mathcal{E}_{pv}$  o úhel  $\frac{1}{2}\pi$ . Její velikost závisí na úhlu  $\alpha$ , který svírá rovina rámu se směrem šíření elmg. vln vztahem

$$U_{pv} = U_{pv\max} \cos \alpha \cos \gamma. \quad (11)$$

Tento vztah zobrazujeme často v polárních souřadnicích, jak ukazuje obr. 4, kde znaménko + a - u obou kružnic vyjadřuje změnu fáze napětí.

Všimněme si ještě úhlu  $\gamma$ . Podle ZENNECKA je směr šíření elmg. vln v blízkosti nedokonale



Obr. 4.



vodivého povrchu skloněn o úhel  $\gamma$  od vodorovného směru, při čemž část elmg. energie vstupuje do zemského povrchu a mění se v energii tepelnou. Pro úhel  $\gamma$  platí

$$\operatorname{tg} \gamma = |\mathcal{E}_{ph}| : |\mathcal{E}_{pv}|. \quad (12)$$

Vodorovná složka vektoru intenzity el. pole indukuje ve vodorovných vodičích rámu elmot. síly, které nejsou ve fázi v horních a v dolních vodičích. Pro fázový rozdíl vodorovné složky intenzity el. pole v horních vodičích a ve středu rámu platí úměra  $2\pi : \lambda = \chi : \frac{1}{2}v \sin \gamma$ , z níž

$$\chi = \frac{\pi v}{\lambda} \sin \gamma.$$

Vektor  $\mathcal{E}_{ph}$  má ve směru vodorovných vodičů rámu složku  $\mathcal{E}_{ph} \cos \alpha$  a elmot. síla indukovaná ve vodorovných vodičích je

$$U_{ph} = j\mathcal{E}_{ph\max} \cos \alpha \sin \gamma h_{u1} e^{j\omega t}$$

a po dosazení za  $\gamma$  podle (12)

$$U_{ph} = -j\mathcal{E}_{pv\max} \operatorname{tg} \gamma e^{j(\omega t + \varphi)} h_{u1} \cos \alpha \sin \gamma,$$

kde o  $\operatorname{tg} \gamma$  platí vztah (12). Celková elmot. síla  $U_p$  indukovaná povrchovou složkou vlnění do rámu je

$$U_p = U_{pv} + U_{ph} = j\mathcal{E}_{pv\max} h_{u1} \cos \alpha (\cos \gamma - \operatorname{tg} \gamma \sin \gamma e^{j\varphi}) e^{j\omega t}. \quad (13)$$

Pro  $\gamma = 0$  obdržíme odtud známý vztah

$$U_p = j\mathcal{E}_{pv\max} h_{u1} \cos \alpha e^{j\omega t}.$$

Rovnice (13) ukazuje, že od základního dvojkruhového diagramu musíme tedy odečíst pod úhlem  $\varphi$  veličinu, jejíž hodnotu můžeme vypočítat nebo určit s pomocí tabulek, uvedených na př. v knize [23]. Tím se zaměřovací diagram zdeformuje, ale poloha zaměřovacího minima se tím nezmění.

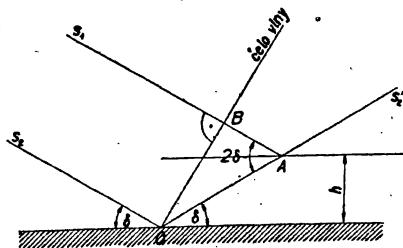
**2. Vlnění odražené od zemského povrchu.** Dopadá-li na rám vedle povrchové vlny ještě prostorová, musíme vyjádřit ještě elmot. sílu indukovanou v rámu prostorovou vlnou. V obecném případě má prostorová vlna jak vertikální tak i horizontální složku vektoru intenzity el. pole, které nejsou obecně ve fázi. Určení fázového rozdílu mezi prostorovou vlnou a povrchovou vlnou nalezneme čtenář v práci [14]. Výška ionosféry, pro kterou byl tento fázový rozdíl určen, je zdánlivou (fiktivní) výškou. Nazveme-li  $\zeta$  tento fázový úhel, platí na př. pro vertikální složku intenzity el. pole prostorové vlny  $\mathcal{E}_{ov}$  ve středu rámu

$$\mathcal{E}_{ov} = A\mathcal{E}_{pv} e^{j(\zeta + \omega t)}, \quad (14)$$

kde  $A$  je poměr amplitud vertikálních složek odraženého vlnění a povrchového vlnění. Při zaměřování na kratších vlnách však povrchová složka vlnění v určité vzdálenosti od vysilače zaniká a stačí sledovat jen prostorovou vlnu. Přitom musíme vedle přímého paprsku prostorové

vlny uvažovati též vlnění odražené od zemského povrchu. Pro odraz platí zákon odrazu, známý z optiky. V určité výši nad zemským povrchem však nejsou přímé a odražené paprsky obecně ve fázi, jednak proto, že odražený paprsek musí projít delší dráhou, a také proto, že v místě odrazu nastává fázový posuv, neboť index lomu a činitel odrazu nedokonalě vodivého zemského povrchu jsou obecně komplexními výrazy.

Rozdíl drah přímého a odraženého paprsku zjistíme takto [21] (obr. 5): Do bodu  $A$  ve výšce  $h$  nad zemským povrchem dopadá přímý paprsek  $s_1$  a odražený paprsek  $s_2'$ , který se odráží v bodě  $O$  na zemském povrchu. Předpokládáme rovinnou vlnu, jejíž čelo je kolmé na  $s_1$  a  $s_2$  a v určitém okamžiku prochází body  $O$  a  $B$ . Paprsek  $s_1$  musí projít dráhou



Obr. 5.

$\overline{BA}$  do bodu  $A$ , při čemž  $\overline{BA} = \overline{OA} \cos 2\delta$ . Paprsek  $s_2'$  projde od místa odrazu dráhou  $\overline{OA} = h : \sin \delta$ . Rozdíl drah paprsků je

$$\Delta l = \overline{OA} - \overline{BA} = \frac{h}{\sin \delta} (1 - \cos 2\delta) = 2h \sin \delta. \quad (15)$$

Neuvažujeme-li prozatím změnu fáze v místě odrazu, dostaneme fázový rozdíl  $\chi$  přímého a odraženého paprsku z úměry  $2\pi : \chi = \lambda : \Delta l$ , z níž vzhledem k (15)

$$\chi = \frac{2\pi}{\lambda} \Delta l = \frac{4\pi h \sin \delta}{\lambda}. \quad (16)$$

V bodě  $O$  vstupuje část elmag. vlnění do zemského povrchu a jen část se odráží, při čemž dojde ke změně fáze. Index lomu  $n$  při přechodu ze vzduchu do Země je  $n = \sqrt{\varepsilon - 2j\lambda\sigma c}$ , kde  $c$  značí rychlost elmag. vlnění ve vakuu ( $c = 3 \cdot 10^8$  m/sec). Poněvadž  $\lambda = c : f$ , můžeme psát

$$n = \sqrt{\varepsilon - j \cdot 18 \cdot 10^{14} \frac{\sigma}{f}}, \quad (17)$$

přičemž kmitočet  $f$  je vyjádřen v Mc/s.

Paprsek se od zemského povrchu neodráží obecně s celou intenzitou a v místě odrazu vzniká též fázový posuv. Činitel odrazu  $R_v$ , t. j. poměr energie odražené k dopadající, udává, jak se změní amplituda a fáze vlnění při odrazu. Je různý pro vlnění s vertikální a s horizontální polarisací. Při vertikální polarisaci je

$$R_v = A_v e^{j\varphi_v},$$

při horizontální polarisaci

$$R_h = A_h e^{i\varphi_h},$$

kde značí  $R_v, R_h$  činitele odrazu pro svisle resp. vodorovně polarisovanou složku;  $A_v, A_h$  činitele absorpce, t. j. poměr amplitud odražené vlny k přímé, pro svisle resp. vodorovně polarisovanou složku;  $\varphi_v, \varphi_h$  fázový posuv při odrazu pro svisle resp. vodorovně polarisovanou složku (pro dokonale vodivý povrch je  $\varphi_v = 0, \varphi_h = \pi$ ). Podle FRESNELOVÝCH zákonů platí pro činitel odrazu

$$R_v = \frac{n^2 \sin \delta - \sqrt{n^2 - \cos^2 \delta}}{n^2 \sin \delta + \sqrt{n^2 - \cos^2 \delta}} \quad (18)$$

resp.

$$R_h = \frac{\sin \delta - \sqrt{n^2 - \cos^2 \delta}}{\sin \delta + \sqrt{n^2 - \cos^2 \delta}} \quad (19)$$

Zde je  $\delta$  úhel dopadu měřený od horizontály. Pro velmi malé úhly dopadu tyto rovnice neplatí a je třeba počítat podobně, jako při výpočtu zaměřovací charakteristiky povrchové vlny.

Hodnota  $A_v$  má minimum pro úhel  $\delta_{\min}$ , jehož velikost je různá pro různá  $\varepsilon$  a  $\sigma$ , tedy pro různou jakost zemského povrchu. Přitom pro reálné a konečné hodnoty  $\varepsilon$  a  $\sigma$  není  $A_v$  pro žádný úhel  $\delta$  rovno nule. Předpokládáme-li  $\sigma = 0$  (zcela nevodivý povrch), dostaneme  $A_v = 0$  pro úhel  $\delta_{\min}$  určený rovnicí

$$\sin \delta_{\min} = \sqrt{\frac{1}{n^2 + 1}}, \quad (20)$$

čili

$$\cot \delta_{\min} = n = \sqrt{\varepsilon}. \quad (21)$$

To je známý vztah pro t. zv. BREWSTERŮV úhel. Analogicky označujeme v theorii šíření elmg. vln nad *nedokonale vodivým* zemským povrchem úhel  $\delta_{\min}$  jako *nepravý* BREWSTERŮV úhel.

Vyjádríme-li intenzitu  $\mathcal{E}_{vp}$  svisle polarisované složky el. pole přímého vlnění v místě  $A$  (na př. ve středu rámu) vztahem

$$\mathcal{E}_{vp} = \mathcal{E}_{v\max} e^{i\omega t}, \quad (22)$$

pak odražené vlnění (index  $r$ ) přichází do bodu  $A$  s dvojnásobným fázovým zpožděním  $\varphi_v$  a  $\chi$ . Jeho amplituda je zeslabena v poměru  $A_v$ , takže

$$\mathcal{E}_{vr} = \mathcal{E}'_{v\max} A_v e^{i(\varphi_v + \chi)} e^{i\omega t}.$$

Vektory  $\mathcal{E}_{v\max}$  a  $\mathcal{E}'_{v\max}$  mají stejnou absolutní hodnotu, ale v prostoru svírají úhel  $2\delta$ . Jsou-li úhly  $\varphi_v$  a  $\chi$  kladné, znamenají fázové zpoždění odraženého paprsku proti přímému.

Abychom mohli vyjádřit také prostorový úhel mezi přímým a odraženým paprskem při svislé polarisaci, rozložíme vektor intenzity el. pole při svislé polarisaci ve dvě složky: svislou, jejíž absolutní hodnota je

$$E_{vv} = E_v \cos \delta$$

a má stejný směr pro odražené i přímé vlnění, a vodorovnou, jejíž absolutní hodnota je

$$E_{vh} = E_v \sin \delta.$$

Tato složka má u odraženého vlnění opačný směr než u přímého. Součet intenzit přímého a odraženého el. pole dostaneme sečtením obou složek.

Pro svislou složku  $\mathcal{E}_{vvc}$  platí

$$\mathcal{E}_{vvc} = \mathcal{E}_{vv}(1 + A_v e^{j(\varphi_v + \pi)}) e^{j\omega t},$$

pro vodorovnou složku

$$\mathcal{E}_{vhc} = \mathcal{E}_{vh}(1 - A_v e^{j(\varphi_v + \pi)}) e^{j\omega t}.$$

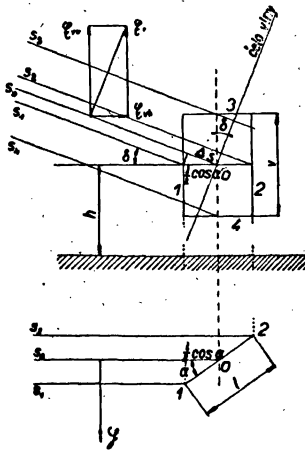
Pro vodorovně polarisovanou složku elmg. vlnění platí podobně

$$\mathcal{E}_{hc} = \mathcal{E}_h[1 + A_h e^{j(\varphi_h + \pi)}] e^{j(\omega t + \varphi_p)} \quad (\varphi_h \approx \pi).$$

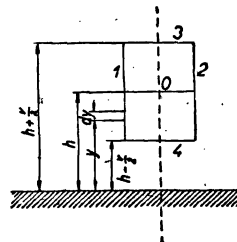
Úhel  $\varphi_p$  udává fázový rozdíl vlnění svisle a vodorovně polarisovaného. Pro lineární polarisaci je  $\varphi_p = 0$ .

**3. Napětí indukované v rámu při obecné polarisaci.** Na rámovou antenu o  $n$  závitech, jejíž strany mají rozměry  $l$  a  $v$ , nechť dopadá vlnění pod úhlem  $\delta$ , jehož vektor intensity el. pole (kolmý na směr šíření) je  $\mathcal{E}_v$ . Leželi vektor  $\mathcal{E}_v$  ve svislé rovině, t. j. v rovině kolmé k rovině dopadu, mluvíme o svislé polarisaci. Vektor  $\mathcal{E}_v$  má přitom složky:

$$\mathcal{E}_{vv} = \mathcal{E}_v \cos \delta,$$



Obr. 6.



Obr. 7.

kolmou k rovině dopadu, a složku

$$\mathcal{E}_{vh} = \mathcal{E}_v \sin \delta,$$

rovnoběžnou s rovinou dopadu, tedy složku vodorovnou. Vektor intensity mag. pole  $\mathcal{H}$  je přitom rovnoběžný s rovinou dopadu (viz obr. 6). To plyne z řešení MAXWELLOVÝCH rovnic.

V  $n$  svislých vodičích rámu indukuje složka  $\mathcal{E}_{vv}$  elmot. sílu (viz obr. 7):

$$U_{vv} = \mathcal{E}_v \cos \delta \cdot n \int_{h-\frac{1}{2}v}^{h+\frac{1}{2}v} (1 + A_v e^{j(\varphi_v + \chi)}) dy, \quad (23)$$

kde  $\chi$  závisí na výšce uvažovaného bodu nad zemí podle vztahu

$$\chi = \frac{4\pi y}{\lambda} \sin \delta.$$

Dosažením do vztahu (23) dostaneme

$$\begin{aligned} U_{vv} &= \mathcal{E}_v \cos \delta \cdot n \int_{h-\frac{1}{2}v}^{h+\frac{1}{2}v} (1 + A_v e^{j(\varphi_v + \frac{4\pi y}{\lambda} \sin \delta)}) dy = \\ &= \mathcal{E}_v \cos \delta \cdot n (v + A_v e^{j\varphi_v} \int_{h-\frac{1}{2}v}^{h+\frac{1}{2}v} e^{j \frac{4\pi y}{\lambda} \sin \delta} dy), \end{aligned} \quad (24)$$

kde integrál

$$\int_{h-\frac{1}{2}v}^{h+\frac{1}{2}v} e^{j \frac{4\pi y}{\lambda} \sin \delta} dy = \frac{\lambda}{2\pi \sin \delta} e^{jx} \sin \frac{2\pi v \sin \delta}{\lambda}.$$

Tento výraz se zjednoduší v případě, že rozměry rámu jsou malé vzhledem k vlnové délce ( $v \ll \lambda$ ), na výraz  $v e^{jx}$ , neboť  $\sin \frac{2\pi v \sin \delta}{\lambda} \approx \frac{2\pi v \sin \delta}{\lambda}$ . Pokud tedy platí tato podmínka, je amplituda elmot. síly ve svislém vodiči délky  $v$

$$U_{vv} = \mathcal{E}_v (1 + A_v e^{j(\varphi_v + \chi)}) v \cos \delta. \quad (25)$$

Pro výpočet cirkulace  $\oint \mathcal{E}_v ds$  musíme ještě určit fázový rozdíl elmot. sil v obou svislých řadách vodičů rámu. Tento fázový rozdíl je dán rozdílem drah paprsků  $s$  a  $s_1$  nebo  $s_2$  dopadajících do středu rámu a do středu uvažovaného svislého vodiče. Podle obr. 6 je tento rozdíl drah  $\Delta s = \frac{1}{2} \cos \alpha \cos \delta$  a fázový rozdíl dostaneme z úměry  $2\pi : \psi = \lambda : \frac{1}{2} l \cos \alpha \cdot \cos \delta$ , t. j.

$$\psi = \frac{\pi l}{\lambda} \cos \alpha \cos \delta.$$

S ohledem na fázi je tedy elmot. síla, indukovaná ve vodičích bližších ke zdroji elmag. vlnění,

$$U_{vv1} = \mathcal{E}_v (1 + A_v e^{j(\varphi_v + \chi)}) v n e^{-j \frac{\pi l}{\lambda} \cos \alpha \cos \delta} \quad (26)$$

a ve vodičích vzdálenějších od zdroje vlnění

$$U_{vv2} = \mathcal{E}_v (1 + A_v e^{j(\varphi_v + \chi)}) v n e^{+j \frac{\pi l}{\lambda} \cos \alpha \cos \delta}. \quad (27)$$

Rozdíl těchto elmot. sil, který se projeví na svorkách rámu, je

$$U_{vv} = U_{vv1} - U_{vv2} = \mathcal{E}_v (1 + A_v e^{j(\varphi_v + \chi)}) v n \cos \delta 2j \sin \left( \frac{\pi l}{\lambda} \cos \alpha \cos \delta \right).$$

Je-li opět  $l \ll \lambda$ , můžeme klást

$$\sin\left(\frac{\pi l}{\lambda} \cos\alpha \cos\delta\right) \approx \frac{\pi l}{\lambda} \cos\alpha \cos\delta$$

a dostaneme

$$U_{vv} = j\mathcal{E}_v(1 + A_v e^{j(\varphi_v + \chi)}) v n \frac{2\pi l}{\lambda} \cos^2\delta \cos\alpha. \quad (28)$$

Vektor  $\mathcal{E}_{vh}$  má složku  $\mathcal{E}_{vh} \cos\alpha$ , rovnoběžnou s vodorovnými vodiči rámu. Pro výpočet elmot. síly indukované v rámu složkou  $\mathcal{E}_{vh}$  musíme vzít v úvahu jednak fázový rozdíl, způsobený rozdílem drah paprsků, dopadajících do středu vodorovných částí rámu, a fázový rozdíl odražených paprsků vzniklý tím, že veličina  $x$  není stejná pro horní a dolní vodorovné vodiče rámu. Pro horní vodiče je

$$\chi_h = \chi + \frac{2\pi v}{\lambda} \sin\delta = \chi + \Delta\chi,$$

v dolních vodičích

$$\chi_d = \chi - \frac{2\pi v}{\lambda} \sin\delta = \chi - \Delta\chi.$$

Rozdíl drah přímých paprsků je  $\frac{1}{2}lv \sin\delta$  a rozdíl fází  $\frac{\pi v}{\lambda} \sin\delta = \frac{1}{2}\Delta\chi$ .

V horních vodičích rámu se indukuje elmot. síla

$$\begin{aligned} U_{vh3} &= \mathcal{E}_v(1 - A_v e^{j(\varphi_v + \chi_h)}) e^{-j\frac{\pi v}{\lambda} \sin\delta} \sin\delta \cos\alpha l n = \\ &= \mathcal{E}_v \sin\delta \cos\alpha l n (1 - A_v e^{j(\varphi_v + \chi + \Delta\chi)}) e^{-j\frac{\pi v}{\lambda} \sin\delta}, \end{aligned}$$

v dolních vodičích rámu je podobně

$$U_{vh4} = \mathcal{E}_v \sin\delta \cos\alpha l n (1 - A_v e^{j(\varphi_v + \chi_d)}) e^{j\frac{\Delta\chi}{2}}.$$

Celková elmot. síla indukovaná ve vodorovných vodičích rámu svisle polarisovanou složkou vlnění je

$$\begin{aligned} U_{vhc} &= U_{vh4} - U_{vh3} = \mathcal{E}_v \sin\delta \cos\alpha l n (1 - A_v e^{j(\varphi_v + \chi + \Delta\chi)}) e^{j\frac{\Delta\chi}{2}} - \\ &\quad - \mathcal{E}_v \sin\delta \cos\alpha l n (1 - A_v e^{j(\varphi_v + \chi + \Delta\chi)}) e^{-j\frac{\Delta\chi}{2}} = \\ &= \mathcal{E}_v \sin\delta \cos\alpha l n \cdot 2j \left( \frac{\Delta\chi}{2} + A_v e^{j(\varphi_v + \chi)} \sin \frac{\Delta\chi}{2} \right). \end{aligned}$$

Pro  $v \ll \lambda$  přejde tento vztah ve

$$U_{vhc} = \mathcal{E}_v \sin^2\delta \cos\alpha \frac{lnv}{\lambda} 2\pi j (1 + A_v e^{j(\varphi_v + \chi)}). \quad (29)$$

Součet

$$U_{vc} = U_{vvc} + U_{vhc} = j\mathcal{E}_v \frac{2\pi l v n}{\lambda} \cos\alpha (1 + A_v e^{j(\varphi_v + \chi)}) \quad (30)$$

je podobný výrazu, odvozenému pro povrchovou vlnu. Použijeme-li výrazu (\*) pro účinnou výšku jednoduché rámové anteny, dostaneme

$$U_{vc} = j\mathcal{E}_v h_{u1} (1 + A_v e^{j(\varphi_v + \alpha)})$$

a absolutní hodnotu tohoto napětí můžeme vyjádřit tvarem

$$U_{vc} = U_{vc\max} \cos\alpha,$$

stejně jako pro povrchovou vlnu. Pro  $\delta = 0$  dostaneme známý vztah

$$U_{vc} = j\mathcal{E}_v h_{u1} \cos\alpha,$$

zcela stejně, jako kdybychom neuvažovali odraz od zemského povrchu.

Při vodorovné polarisaci je vektor intensity el. pole  $\mathcal{E}_h$  rovnoběžný s rovinou odrazu a kolmý na směr šíření elmag. vlny. Složka vektoru  $\mathcal{E}_h$  v rovině rámu je  $\mathcal{E}_h \sin\alpha$ . Podobně jako pro vodorovnou složku svisle polarisovaného vektoru dostaneme zde

$$U_{hc} = U_{h4} - U_{h3} = j\mathcal{E}_h \sin\alpha \frac{2\pi l v n}{\lambda} \sin\delta (1 - A_h e^{j(\varphi_h + \alpha)}). \quad (31)$$

O úhlu  $\varphi_h$  platí  $\varphi_h \approx \pi$ .

Celková elmot. síla indukovaná v rámu je

$$U_c = U_{vc} + U_{hc} = j\mathcal{E}_v h_{u1} \cos\alpha [1 + A_v e^{j(\varphi_v + \alpha)}] + j\mathcal{E}_h h_u \sin\alpha \sin\delta \cdot [1 - A_h e^{j(\varphi_h + \alpha)}]. \quad (32)$$

Při zaměřování využíváme extrémních hodnot napětí  $U_c$  (nejčastěji minima absolutní hodnoty napětí). Pro extrémy  $U_c$  platí  $\frac{dU_c}{d\alpha} = 0$ , čili

$$j\mathcal{E}_v h_{u1} \cos\alpha \sin\delta [1 - A_h e^{j(\varphi_h + \alpha)}] = j\mathcal{E}_v h_{u1} \sin\alpha [1 + A_v e^{j(\varphi_v + \alpha)}].$$

Odtud

$$\operatorname{tg}\alpha = \frac{\mathcal{E}_h [1 - A_h e^{j(\varphi_h + \alpha)}]}{\mathcal{E}_v [1 + A_v e^{j(\varphi_v + \alpha)}]} \sin\delta. \quad (33)$$

Pro  $\delta = 0$  je také  $\alpha = 0$ , takže jsme našli polohu maxima. Poznali jsme v odst. 1, že v tomto případě je minimum napětí v poloze  $\alpha' = 90^\circ$  a *chybou zaměření* nazýváme úhel, o který se liší poloha minima při zaměřování povrchové vlny se svislou polarisací od polohy minima v daném případě. Tuto chybu nazveme  $\vartheta$  a je  $\vartheta = \alpha$ . Podle BARFIELDA [1] srovnáváme zaměřovací soustavy podle chyby, s kterou zaměřují t. zv. *standardní vlnu*, t. j. lineárně polarisovanou vlnu, dopadající pod úhlem  $\delta = 45^\circ$ . Elektrický vektor svírá s rovinou dopadu úhel  $\psi_p = 45^\circ$ . Tyto podmínky znamenají, že musí být

$$|\mathcal{E}_v| = |\mathcal{E}_h|, \text{ t. j. } \operatorname{tg}\psi_p = 1.$$

Fáze vektorů  $\mathcal{E}_v$  a  $\mathcal{E}_h$  má být taková, aby napětí  $U_v$  a  $U_h$  byla ve fázi (pak totiž dostaneme ostré minimum [2]). V této otázce však nejsou autoři jednotni. BOND [4] uvádí, že fázový rozdíl má být takový, aby

byla chyba maximální. WATSON-WATT [24] upozorňuje na to, že definice standartní vlny nezahrnuje změnu směru paprsku elmg. vln. Při dopadu standartní vlny dostaneme minimum v poloze, ve které je chyba zaměření dána rovnicí

$$\operatorname{tg} \vartheta = \frac{\mathcal{E}_h [1 - A_h e^{j(\varphi_h + \pi)}]}{\mathcal{E}_v [1 + A_v e^{j(\varphi_v + \pi)}]} \sin \delta.$$

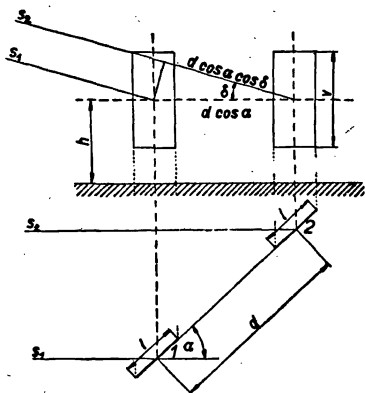
Pro dokonale vodivý zemský povrch je  $A_h = A_v = 1$ ,  $\varphi_h = \pi$ ,  $\varphi_v = 0$  a je tedy (pro libovolnou výšku rámu nad zemí)

$$\operatorname{tg} \vartheta = \sin 45^\circ = 0,707, \text{ t. j. } \vartheta = 35^\circ 18'.$$

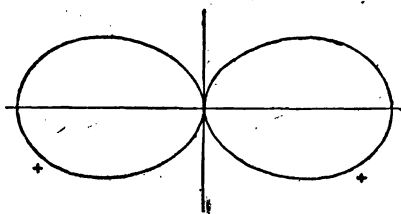
To je standartní chyba jednoduchého rámového zaměřovače. Tento výsledek je uveden shodně v pracích [1, 4, 21].

#### 4. Zaměřovací diagram dvojitého rámového zaměřovače.

Z rovnic jednoduchého rámového zaměřovače odvodíme snadno vztahy pro dvojitý rámový zaměřovač, zjistíme-li, jaký je fázový rozdíl napětí, indukovaných v rámech dvojitého zaměřovače. Rozdíl drah paprsků, dopadajících do středu rámu je podle obr. 8  $\Delta s = d \cos \alpha \cos \delta$  a rozdíl



Obr. 8.



Obr. 9.

fází je  $\frac{2\pi d}{\lambda} \cos \alpha \cos \delta$ . Elmot. sílu koplanárních rámu dostaneme jako rozdíl elmot. sil dvou rámu, jejichž roviny svírají se svislou rovinou, určenou směrem šíření vln, úhel  $\alpha$ . Nazveme-li  $U_{v1}$  elmot. sílu indukovanou vektorem  $\mathcal{E}_v$  v rámu 1 a  $U_{v2}$  elmot. sílu indukovanou tímtež vektorem v rámu 2, je výsledná elmot. síla z obou rámu dána rozdílem

$$\begin{aligned} U_v &= U_{v1} - U_{v2} = j\mathcal{E}_v \cos \alpha h_{u1} (1 + A_v e^{j(\varphi_v + \pi)}) 2j \sin \left( \frac{2\pi d}{\lambda} \cos \alpha \cos \delta \right) \approx \\ &\approx -2 \frac{\pi d}{\lambda} h_{u1} \mathcal{E}_v [1 + A_v e^{j(\varphi_v + \pi)}] \cos^2 \alpha \cos \delta. \end{aligned} \quad (34)$$



Pro účinnou výšku dvojitého rámového zaměřovače zavedeme výraz

$$h_u = \frac{2\pi d}{\lambda} h_{u1} = \frac{4\pi^2 l v}{\lambda^2} n d, \quad (35)$$

takže

$$U_v = -h_u \mathcal{E}_v (1 + A_v e^{j(\varphi_v + \pi)}) \cos^2 \alpha \cos \delta. \quad (36)$$

Podobně je pro  $U_h$

$$U_h = -h_u \mathcal{E}_h [1 - A_h e^{j(\varphi_h + \pi)}] \sin \alpha \sin \delta \cos \alpha \cos \delta \quad (37)$$

a celková elmot. síla dvojitého rámu je

$$U_c = -h_u \cos \alpha \cos \delta [\mathcal{E}_v (1 + A_v e^{j(\varphi_v + \pi)}) \cos \alpha + \mathcal{E}_h (1 - A_h e^{j(\varphi_h + \pi)}) \sin \alpha \sin \delta]. \quad (38)$$

Tento výraz přejde pro  $\delta = 0$  a  $\mathcal{E}_h = 0$  (povrchová vlna s čistě vswislou polarisací) na

$$|U_c| = h_u \mathcal{E}_v \cos^2 \alpha, \quad (39)$$

což je základní zaměřovací diagram koplanárního rámového zaměřovače (t. zv. dvojvejtá křivka, viz obr. 9). Průběh zaměřovacího diagramu je v tomto případě podobný dvojkruhovému diagramu jednoduchého rámu, ale obě poloviny diagramu mají shodné znaménko, neboť nedojde ke změně fáze. Účinná výška je mnohem menší než účinná výška jednoduchého rámu. Rozměry zaměřovací soupravy jsou poměrně malé a je možno jí použít i na letounech. Zaměřovací diagram pro obecnou polarisaci má jedno minimum vždy v poloze  $\pm \frac{1}{2}\pi$ , neboť součinitelem při  $U_c$  je  $\cos \alpha$ . Tato minima se nazývají *hlavními*.  $U_c$  se však podle (38) anuluje také tehdy, je-li

$$\operatorname{tg} \alpha = \frac{\mathcal{E}_h [1 - A_h e^{j(\varphi_h + \pi)}]}{\mathcal{E}_v [1 + A_v e^{j(\varphi_v + \pi)}]} \sin \delta. \quad (33)$$

Jak vidíme, je to podmínka shodná s podmínkou pro chybu jednoduchého rámu. Tato minima nazýváme *vedlejšími*. Poloha hlavního minima je v ideálním případě nezávislá na polarisaci zaměřovaného vlnění, což jsme chtěli dokázat.

Pro koaxiální rámy (obr. 10) dostaneme podobné výrazy tím, že ve vzorcích pro koplanární rámy zaměníme  $\sin \alpha$  za  $\cos \alpha$  a naopak tam, kde jde o vyjádření elmot. síly jednoho rámu (neboť rámy jsou otočeny o  $90^\circ$  vzhledem ke koplanárním). Fázový rozdíl napětí v obou rámech je však nadále závislý na  $\cos \alpha$ . Je tedy

$$U_c = -h_u \cos \alpha \cos \delta [\mathcal{E}_v (1 + A_v e^{j(\varphi_v + \pi)}) \sin \alpha + \mathcal{E}_h (1 - A_h e^{j(\varphi_h + \pi)}) \cos \alpha \sin \delta].$$

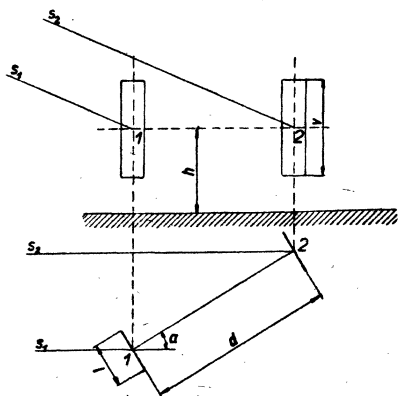
Tento výraz se opět zjednoduší pro  $\delta = 0$  a  $\mathcal{E}_h = 0$  na

$$U_c = \frac{1}{2} h_u \mathcal{E}_v \sin 2\alpha.$$

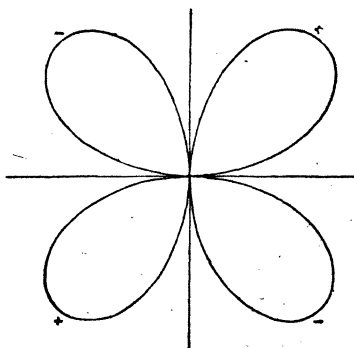
Tento základní zaměřovací diagram se skládá ze čtyř smyček se střídavými znaménky (t. zv. čtyřlístá růžice, obr. 11). Minimum nastane pro  $\alpha = 0$  a  $\alpha' = 90^\circ$ . Při obecné polarisaci zůstane hlavní minimum v poloze  $\alpha' = 90^\circ$ , kdežto pro vedlejší minimum platí podmínka

$$\cotg \alpha = \frac{\mathcal{E}_h [1 - A_h e^{j(\varphi_h + \alpha)}]}{\mathcal{E}_v [1 + A_v e^{j(\varphi_v + \alpha)}]} \sin \delta. \quad (40)$$

Výraz je podobný výrazu pro chybu jednoduchého rámu, ale minimum je v tomto případě otočeno o  $90^\circ$ .

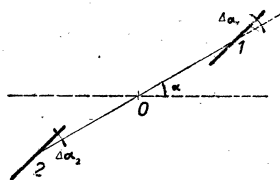


Obr. 10.

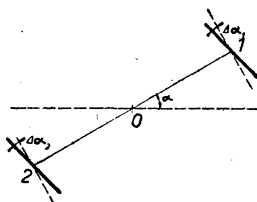


Obr. 11.

Jak bylo řečeno, hlavní minima by byla u geometricky dokonale provedeného dvojitého rámu nezávislá na polarisaci. Nepřesnosti provedení však působí, že i u hlavních minim nastane určitá chyba. To můžeme vyjádřit tím, že předpokládáme odchylky  $\Delta\alpha_1$  a  $\Delta\alpha_2$  jednotlivých



Obr. 12.



Obr. 13.

rámů od správné polohy (obr. 12 a 13). Provedme výpočet na př. pro koplanární rámy podle obr. 12. Napětí indukované v rámu 1 je podle (32)

$$U_{c1} = j\mathcal{E}_v h_{u1} \cos(\alpha + \Delta\alpha_1) [1 + A_v e^{j(\varphi_v + \alpha)}] + j\mathcal{E}_h h_{u1} \sin(\alpha + \Delta\alpha_1) \sin \delta [1 + A_h e^{j(\varphi_h + \alpha)}]$$

a v rámu 2 se indukuje napětí

$$U_{c_2} = \{j\mathcal{E}_v h_{u1} \cos(\alpha + \Delta\alpha_1)[1 + A_v e^{j(\varphi_v + \alpha)}] + \\ + j\mathcal{E}_h h_{u1} \sin(\alpha + \Delta\alpha_1) \sin\delta [1 + A_h e^{j(\varphi_h + \alpha)}]\} e^{j\frac{2\pi d}{\lambda} \cos\alpha \cos\delta}$$

Jsou-li  $\Delta\alpha_1$  a  $\Delta\alpha_2$  velmi malé úhly, blízké nule, je

$$\cos(\alpha + \Delta\alpha_1) = \cos\alpha - \Delta\alpha_1 \sin\alpha, \quad \sin(\alpha + \Delta\alpha_1) = \sin\alpha + \Delta\alpha_1 \cos\alpha$$

a podobně i pro  $\Delta\alpha_2$ . Celkové napětí z koplanárních rámu je  $U_c' = U_{c_1} - U_{c_2}$ ; dosazením za  $U_{c_1}$  a  $U_{c_2}$  a použitím rovnice (38) dostaneme

$$U_c' = U_c - \{j\mathcal{E}_v h_{u1} \sin\alpha [1 + A_v e^{j(\varphi_v + \alpha)}] - \\ - j\mathcal{E}_h h_{u1} \cos\alpha \sin\delta [1 - A_h e^{j(\varphi_h + \alpha)}]\} \cdot (\Delta\alpha_1 - \Delta\alpha_2) e^{j\frac{2\pi d}{\lambda} \cos\alpha \cos\delta}.$$

Srovnáme-li tento výsledek s rovnicí (38), vidíme, že jsou-li roviny rámu nerovnoběžné, nastává chyba, která se dá (až na znaménko členu s  $\mathcal{E}_h$ ) vyjádřit tím, že soustavu nahradíme ideálním dvojitým rámem a dvojitým rámem, který zastupuje rušivý člen. Roviny rámu této pomocné soustavy jsou kolmé na rovinu ideálního rámu a jejich plocha je průmětem skutečného rámu do této roviny. Podobný výsledek bychom dostali u koaxiálního rámu nebo v případě, že bychom předpokládali, že ani svislé strany rámu nejsou rovnoběžné.

**5. Některé číselné hodnoty.** Aby bylo možno posoudit význam vlivu jednotlivých činitelů na chybu zaměřovače, byl proveden číselný výpočet pro zaměřovač, umístěný nad povrchem různé jakosti. Za základ byly vzaty hodnoty, na nichž se v roce 1932 usnesla madridská radio-komunikační konference:

Mořská voda .....	$\varepsilon = 80$ , $\sigma = 10^{-11}$ a. j. elmg., $n^2 = 80 - j 600$
Vlhká půda .....	$\varepsilon = 9$ , $\sigma = 5 \cdot 10^{-14}$ a. j. elmg., $n^2 = 9 - j 3$
Suchá půda .....	$\varepsilon = 4$ , $\sigma = 10^{-15}$ a. j. elmg., $n^2 = 4 - j 0,06$

Výpočet byl proveden pro kmitočet  $f = 30$  Mc/s a dává tedy přehled theoretických chyb vedlejšího minima zaměřovače v rozsahu krátkých vln. Pro veličiny  $A_v$ ,  $A_h$ ,  $\varphi_v$  a  $\varphi_h$  byly vypočteny tyto hodnoty:

Mořská voda .....	$A_v = 0,917175$ , $\varphi_v = -4^\circ 20' 33''$
Vlhká půda .....	0,3890, $-9^\circ 37' 31''$
Suchá půda .....	0,203832, $-0^\circ 52' 00''$
Mořská voda .....	$A_h = 0,95778$ , $\varphi_h = 177^\circ 49' 44''$
Vlhká půda .....	0,62394, $175^\circ 11' 14''$
Suchá půda .....	0,45146, $179^\circ 34' 03''$

Na základě těchto hodnot vypočteme standartní chybu rámového zaměřovače. K tomu musíme ještě vyjádřit fázové zpoždění  $\chi$ , způsobené rozdílem drah přímého a odraženého paprsku. Pro standartní vlnu dostaneme dosazením do (16) a převedením na stupně  $\chi^\circ = 50,912\lambda$ . Tento

úhel musíme dosazovat s kladným znaménkem, neboť odražený paprsek je o  $\chi$  zpožděn ve fázi. Jak vidíme, závisí  $\chi$  značně na výšce nad zemí, je-li výška nad zemí stejného řádu, jako vlnová délka. V našem případě je na př. při výšce  $h$  středu rámu nad zemí v metrech úhel  $\chi^\circ$ :

$h = \dots\dots\dots$	1	2	3	4
$\chi^\circ = \dots\dots\dots$	50°54'43"	101°49'26"	152°44'09"	203°38'52"
$h = \dots\dots\dots$	5	6	7	
$\chi^\circ = \dots\dots\dots$	254°33'35"	305°28'18"	356°23'01"	atd.

Volíme-li různé výšky  $h$ , můžeme dosáhnouti toho, že některá ze složek odraženého vlnění je ve fázi nebo opačné fáze než přímé vlnění. Přitom vždy přibližně platí, že, je-li ve fázi odražené vlnění svisle polarisované složky, je odražené vlnění vodorovně polarisované složky opačné a naopak. Zanedbáme-li malý fázový rozdíl, dostaneme pro extrémní hodnoty chyby radiového zaměření rovnice

$$\operatorname{tg} \vartheta_{\max} = \frac{1 + A_h}{1 + A_v} 0,7071 \quad \text{a} \quad \operatorname{tg} \vartheta_{\min} = \frac{1 - A_h}{1 - A_v} 0,7071.$$

Dosadíme-li sem hodnoty pro různou (representativní) jakost zemského povrchu, dostaneme tabulku

Mořská voda.....	$\vartheta_{\max} = 35^\circ 49' 55''$ ,	$\vartheta_{\min} = 19^\circ 49' 17''$
Vlhká půda.....	40°13'51",	23°31'09"
Suchá půda.....	41°06'07",	25°58'28"

**6. Závěr.** Předpokládáme-li ideální vodivost zemského povrchu a geometricky dokonalé provedení dvojitého rámu, dostaneme dvě minima, u nichž je chyba nulová a dvě minima, jež jsou posunuta přesně o úhel  $\vartheta_{\text{stand}}$ . V tomto případě nezávisí chyba na výši rámu nad zemí. Hlavní i vedlejší minima dosahují přitom až k nule. Mezi koplanárním a koaxiálním uspořádáním je ten rozdíl, že hlavní maxima jsou větší a vedlejší maxima menší u koplanárního uspořádání. Nalezení hlavního minima je tedy snazší při koaxiálním uspořádání.

Je-li zaměřovač umístěn nad skutečným povrchem země, zůstávají hlavní minima na svém místě a jsou ostrá, kdežto vedlejší minima mají různou polohu jednak v závislosti na jakosti zemského povrchu, jednak v závislosti na výšce zaměřovacích anten nad zemí. Čím menší je vodivost zemského povrchu, tím jsou vedlejší minima neostřejší. Koaxiální uspořádání rámu zde zase dává ostřejší indikaci hlavního minima. U stabilních zaměřovačů tohoto druhu proto někdy zlepšujeme vodivost zemského povrchu tím, že v malé výšce nad zemí provedeme síť měděných vodičů. Hlavní minima od vedlejších rozlišujeme v praxi tím, že změním polaritu jednoho z rámu, hlavní minima se v tomto případě poruší, kdežto vedlejší minima zůstanou.

Některé praktické realizace tohoto zaměřovače ukázaly jeho použitelnost při zaměřování na krátkých vlnách.

## LITERATURA.

- [1] BARFIELD R. H., Some principles underlying the design of spaced aerial direction finders, *Jour. I. E. E. (London)*, **76**, (1935), IV, 423—447.
- [2] BARFIELD R. H., The performance and limitations of the compensated loop direction finder, *Jour. I. E. E. (London)*, **86**, (1940), IV, 396—398.
- [3] BERGMANN L. a H. LASSEN, Ausstrahlung, Ausbreitung und Aufnahme elektromagnetischer Wellen, J. Springer, Berlin 1940, 137—138.
- [4] BOND D. S., Radio direction finders, McGraw-Hill, New York & London 1944, 66—71.
- [5] BURROWS C. R., Radio propagation over plane earth-field strength curves, *Bell Syst. Tech. Journ.* **16**, (1937), I, 45—75.
- [6] DIECKMANN M., Der Rahmen im abnormal polarisierten Strahlungsfeld, *Gesammelte Vorträge der Hauptversammlung 1937 der Lilienthal-Gesellschaft (1938)*, 338—345.
- [7] DRUDE P., The theory of optics (přel. Mann a Millikan), Longmans, Green & Co., New York 1925.
- [8] ECKERSLEY T. L., Grundsätzliche Probleme der Funkpeilung im Hinblick auf die Flugnavigation. *Gesammelte Vorträge der Hauptversammlung 1937 der Lilienthal-Gesellschaft (1938)*, 307.
- [9] FELDMAN C. B., The optical behavior of the ground for short radio waves, *Proc. I. R. E.*, **21**, (1933), VI, 764—801.
- [10] GLOECKNER M. H., Der Doppelrahmenpeiler, *Gesammelte Vorträge der Hauptversammlung 1937 der Lilienthal-Gesellschaft (1938)*, 354.
- [11] HORNER F., An experimental spaced-loop direction finder for very high frequencies, *Journ. I. E. E.*, **94**, (1947), část III, č. 28, 126—133.
- [12] HORNER F., Spaced-loop aeriels, *Wireless Engineer*, **25**, (1948), IX, 281—285.
- [13] HOWES F. S. a F. M. WOOD, Note on the bearing error and sensitivity of a loop antenna in an abnormally polarised field, *Proc. I. R. E.*, **32**, (1944), IV, 231 až 233.
- [14] JOACHIM M., Chyby radiových zaměřovačů, *Fysika v technice*, **3** (1948), I, 11—18 a II, 41—50.
- [15] KEEN R., Wireless direction finding, 3rd Ed., Iliffe & Sons, London 1938 (nové vyd. vyšlo r. 1947).
- [16] PEDERSEN P. O., Propagation of radio waves, G. E. C. Gad, Copenhagen 1927.
- [17] MCPETRIE J. S., The reflection coefficient of the earth's surface for radio waves, *Journ. I. E. E. (London)*, **82**, (1938), II, 214—218.
- [18] ROSS W., The development and study of a practical spaced-loop direction finder for high frequencies, *Journ. I. E. E.* **94**, (1947), část III, č. 28, str. 99 až 107.
- [19] SANDRETTO P. C., Principles of aeronautical radio engineering, McGraw-Hill, New York & London 1942.
- [20] TERMAN F. E., Radio engineer's handbook, McGraw-Hill, New York & London 1943.
- [21] TERMAN F. E. a J. H. PETTIT, The compensated-loop direction finder, *Proc. I. R. E.*, **33**, (1945), V, 307—318.
- [22] TREVOR B. a P. S. CARTER, Notes on propagation of waves below ten meters in length, *Proc. I. R. E.*, **21**, (1933), III, 387—426.
- [23] VILBIG F., Lehrbuch der Hochfrequenztechnik, Band I, Becker & Erler, Leipzig 1944 (4. vyd.), 283—298.
- [24] WATSON WATT R. A., Polarisation errors in direction finders, *Wireless Engineer*, **13**, (1936), I, 3—6.

\*

**Théorie du radiogoniomètre à deux cadres.** Dans son article, l'auteur montre les caractéristiques du radiogoniomètre à deux cadres. Il considère non seulement l'effet de la polarisation de l'onde directe, mais aussi celui de l'onde réfléchie

à la surface d'un sol de nature diverse. Il démontre que, dans le cas du radiogoniomètre idéal de ce type on reçoit deux minima, dits principaux, dont l'erreur de polarisation reste nulle. Les deux autres minima, dits auxiliaires, sont entachés d'une erreur identique à celle que donnerait un radiogoniomètre à cadre simple. Si l'on considère la conductivité absolue de la surface de la terre, on reçoit deux minima auxiliaires, décalés de l'angle  $\delta_{\text{stand}}$ . Dans ce cas-ci, la valeur de l'erreur n'est pas fonction de la hauteur du cadre au-dessus de la surface. Tous les quatre minima sont aigus. Les maxima principaux sont plus grands et les maxima auxiliaires sont plus petits dans le cas du radiogoniomètre coplanaire, c'est à dire que la précision est plus grande dans le cas du radiogoniomètre coaxial. Pour un radiogoniomètre placé au dessus d'un sol de nature diverse, l'erreur des minima principaux reste toujours nulle et les minima sont aigus. La position des minima auxiliaires est fonction de la qualité de la surface du sol et de la hauteur du cadre au dessus du sol. Les tables montrent l'effet de la qualité du sol. Les réalisations pratiques du radiogoniomètre de ce type démontrent l'efficacité de cet appareil pour la diminution de l'erreur de polarisation.

## VÝPOČET NAPĚTÍ A PRŮHYBŮ U VENKOVNÍCH VEDENÍ ELEKTRICKÝCH O STŘEDNÍCH A VELIKÝCH ROZPĚTÍCH.

### Část II. Řešení pomocí řad.

Prof. Ing. FERDINAND BUDINSKÝ, Praha.

V druhé části článku (první část byla otištěna v tomto časopise 75, 1949, D20 - 36) pojednávám o výpočtu napětí po změně stavů pomocí řad a o lineární a kvadratické rovnici pro změnu stavu.

**2.0. Princip řešení. Odvození lineární rovnice.** Výpočet napětí  $p_{b2}$  po změně stavů je — jak ukazuje (2) — tím snazší, čím hodnota výrazu  $\frac{3}{8\varphi_{b1}^2} \lambda$  je menší. Klesne-li velikost tohoto výrazu pod určitou hodnotu, lze odmocninu v (2) rozvinout s výhodou v řadu:

$$\frac{p_{b2}}{p_{b1}} = \frac{z_2}{z_1} \left[ 1 - \frac{1}{2} \frac{3}{8\varphi_{b1}^2} \lambda + \frac{3}{8} \left( \frac{3}{8\varphi_{b1}^2} \right)^2 \lambda^2 - \frac{5}{16} \left( \frac{3}{8\varphi_{b1}^2} \right)^3 \lambda^3 + \dots \right] \quad (12)$$

kde  $\lambda = \beta \Delta t + \frac{\Delta p_b}{E}$  (viz (1<sub>4</sub>)). Výpočet pomocí této řady je prakticky výhodný tehdy, můžeme-li se spokojit s prvním členem řady, čili bude-li platit s dostatečnou přesností:

$$\frac{p_{b2}}{p_{b1}} = \frac{z_2}{z_1} \left[ 1 - \frac{3}{16\varphi_{b1}^2} \lambda \right] \quad (12_1)$$

S rostoucím  $\varphi_{b1}$  blíží se poměr  $\frac{p_{b2}}{p_{b1}}$  poměru  $\frac{z_2}{z_1}$ . Toho lze využít pro vyjádření dosud neznámé hodnoty  $\Delta p_b$  ve výrazu pro  $\lambda$  (srovn. odvození rovnice (3)).  $\Delta p_b$  stačí určit o řád méně přesně než  $p_{b2}$ , poněvadž tím za-